

МИНИСТЕРСТВО НЕФТЯНОЙ ПРОМЫШЛЕННОСТИ  
ВНИИСПТнефть

ИНСТРУКЦИЯ  
ПО ОПРЕДЕЛЕНИЮ ПАРАМЕТРОВ  
ЭКСПЛУАТАЦИИ СИСТЕМЫ РЕЗЕРВУАРНЫЙ  
ПАРК - ПОДПОРНЫЕ НАСОСЫ  
РД-39-30-140-79

Уфа - 1979

Министерство нефтяной промышленности

ВСЕСОЮЗНЫЙ НАУЧНО-ИССЛЕДОВАТЕЛЬСКИЙ ИНСТИТУТ ПО СБОРУ,  
ПОДГОТОВКЕ И ТРАНСПОРТУ НЕФТИ И НЕФТЕПРОДУКТОВ  
(ВНИИСПТнефть)

УТВЕРЖДЕНА

Первым Зам. Министра нефтяной  
промышленности  
В.И. КРЕМНЕВЫМ

"5" февраля 1979 г.

ИНСТРУКЦИЯ  
ПО ОПРЕДЕЛЕНИЮ ПАРАМЕТРОВ ЭКСПЛУАТАЦИИ СИСТЕМЫ  
РЕЗЕРВУАРНЫЙ ПАРК-ПОДПОРНЫЕ НАСОСЫ  
РД-39-30-140-79

1979

Настоящая инструкция предназначена для ИТР диспетчерских и оперативных служб НПС для определения технологических параметров системы резервуарный парк – подпорные насосы:

- минимального давления на входе в насос;
- минимальных взливов нефти в резервуарах;
- вибрационных характеристик подпорных насосов;
- верхних эксплуатационных взливов нефти в подключенных резервуарах.

Инструкция разработана институтом ВНИИСПНефть.

Авторский коллектив: д.т.н. Колпаков Л.Г., рук. темы,  
к.т.н. Рахматуллин Ш.И., рук. темы,  
с.н.с. Беркутов И.С., ответственный  
исполнитель.

## РУКОВОДЯЩИЙ ДОКУМЕНТ

---

### Инструкция по определению параметров эксплуатации системы резервуарный парк - подпорные насосы

РД 39 - 30-140-79

---

Приказом Министерства нефтяной промышленности № Т14

от 22 Февраля 1979 г.

Срок введения установлен с 25.04.79

Срок действия до 1982 г.

#### I. ОБЩИЕ ПОЛОЖЕНИЯ

I.1. Настоящая инструкция предназначена для определения следующих технологических параметров системы резервуарный парк - подпорная насосная на действующих НПС:

- минимального давления на входе в подпорный насос;
- минимальных взливов нефти в резервуарах;
- вибрационных характеристик подпорных насосов;
- верхних эксплуатационных взливов нефти в резервуарах.

I.2. Минимальные - такие минимально возможные взливы нефти в резервуарах, уменьшение которых приводит к срыву работы подпорных насосов.

I.3. Верхние эксплуатационные взливы - такие взливы нефти в резервуарах, в которых предусматривается наличие свободного объема, необходимого для приема нефти с предыдущей станции в аварийной ситуации.

I.4. Технологические параметры определяются из условия обеспечения бескавитационной работы подпорных насосов для различных температур перекачиваемой жидкости в зависимости от производитель-

ности перекачки.

### 1.5. Условные обозначения

$h_s$  - давление насыщенных паров перекачиваемой нефти, м.ст.м.;

$T$  - температура перекачиваемой нефти, град.К;

$\Delta h_{\text{доп}}$  - допустимый кавитационный запас, м.ст.м.;

$V$  - скорость потока, м/сек;

$d$  - диаметр, м;

$g$  - ускорение силы тяжести, м/сек<sup>2</sup> ;

$\nu$  - кинематическая вязкость жидкости, м<sup>2</sup>/сек;

$Z$  - заглубление подпорного насоса, м;

$h_w$  - гидравлические потери в нефтепроводе, м;

$\lambda$  - коэффициент гидравлического сопротивления;

$\zeta$  - коэффициент местного сопротивления;

$H$  - высота уровня нефти в резервуаре, м;

$Q$  - расход перекачиваемой жидкости, м<sup>3</sup>/сек;

$N$  - число резервуаров

## 2. ОПРЕДЕЛЕНИЕ МИНИМАЛЬНОГО ДАВЛЕНИЯ НА ВХОДЕ В ПОДПОРНЫЙ НАСОС

2.1. Давление насыщенных паров следует принимать по данным лабораторных исследований при соотношении паровой и жидкой фаз близком к нулю.

Давление насыщенных паров, замеренное по методу Рейда  $h_s^P$  ( $V_p/V_x = 4:1$ ), пересчитывается по формуле

$$h_s = h_s^P [1,558 + 0,063(T - 273)], \quad (I)$$

где  $T$  - температура перекачиваемой жидкости, град.К.

Для чистых нефтей ориентировочно можно пользоваться графиком зависимости  $h_s = f(t^\circ)$  (приложение I).

2.2. Допустимый кавитационный запас центробежного насоса определяют по формуле:

$$\Delta h_{\text{доп}}^{\text{неф}} = K(\Delta h_{\text{кр}}^{\text{вод}} - \Delta H_t^{\text{кр}} + \delta h_v) \quad (2)$$

$$\text{или } \Delta h_{\text{доп}}^{\text{неф}} = \Delta h_{\text{доп}}^{\text{вод}} - K(\Delta H_t^{\text{кр}} - \delta h_v), \quad (2')$$

где  $K$  - коэффициент запаса согласно ГОСТ 6134-71 (приложение 2);

$\Delta h_{\text{кр}}^{\text{вод}}$ ;  $\Delta h_{\text{доп}}^{\text{вод}}$  - паспортное значение соответственно критического и допустимого кавитационного запаса, полученное при заданном режиме для воды, и.в.од.ст.;

$\Delta H_t^{\text{кр}}$  - термодинамическая поправка, определяемая по формуле:

$$\Delta H_t^{\text{кр}} = \frac{8,708}{B^{0,46} \cdot h_s^{0,41}} \quad (3)$$

или графически (приложение 3).

$B$  - тепловой коэффициент определяется графически (приложение 4) в зависимости от давления насыщенных паров;

$\delta h_v$  - поправка на влияние вязкости жидкости

$$\delta h_v = \frac{\zeta_{\text{д.п.}} U_{\text{бк}}^2}{2g} \quad (4)$$

$\zeta_{\text{д.п.}}$  - коэффициент гидравлического сопротивления на входе в насос находится по графику (Приложение 5) в зависимости от числа Рейнольдса

$$Re = \frac{d_{\text{бк}} \cdot U_{\text{бк}}}{V} \quad (5)$$

$d_{\text{бк}}$  - диаметр входного патрубка насоса, м;

$U_{\text{бк}}$  - скорость течения жидкости во входном патрубке насоса, м/сек;

$V$  - кинематическая вязкость перекачиваемой жидкости, м<sup>2</sup>/сек.

Если в паспортах на насосы дается допустимая вакууметрическая высота всасывания  $H_{\text{бак}}^{\text{доп}}$  (приложение 6) вместо критического кави-

тационного запаса, то последний определяют по формуле

$$\Delta h_{kp}^{вод} = \frac{1}{K} (10,09 + \frac{V_{бх}^2}{2g} + H_{вак}^{доп}) \quad (6)$$

2.3. Для вертикальных подпорных насосов кавитационный запас может быть задан по воде на входе в стакан. В этом случае необходимо сделать пересчет кавитационного запаса по перекачиваемой жидкости. При этом следует учитывать режим течения жидкости во входном патрубке стакана

- для автомодельной области ( $Re \geq 3,3 \cdot 10^4$ )

$$(\Delta h_{kp}^{б.н.})_{неф} = (\Delta h_{kp}^{б.н.})_{вода} - \Delta H_t^{kp} \quad (7)$$

- для неавтомодельной области ( $Re < 3,3 \cdot 10^4$ )

$$(\Delta h_{kp}^{б.н.})_{неф} = (\Delta h_{kp}^{б.н.})_{вода} + (\zeta_{Re} - \zeta_{авт}) \frac{V_{бх}^2}{2g} - \Delta H_t^{kp} \quad (8)$$

где  $(\Delta h_{kp}^{б.н.})_{неф}$  - критический кавитационный запас на входе в стакан вертикального насоса при работе на нефти, м.ст.ж.

$(\Delta h_{kp}^{б.н.})_{вода}$  - то же при работе на воде, м.вод.ст.

$\zeta_{Re}$  - коэффициент сопротивления на входе в верхний патрубок вертикального насоса при  $Re$  [1];

$\zeta_{авт}$  - то же в автомодельной области;  $\zeta_{авт} = 3,0$ .

2.4. Минимальное давление на входе в насос  $h_{бх}$  подсчитывают в зависимости от подачи насоса для различных температур перекачиваемой жидкости:

$$h_{бх} = \Delta h_{доп}^{неф} + h_s - \frac{V_{бх}^2}{2g} \quad (9)$$

2.5. Полученные результаты прилагаются к технологической карте по каждой НПС, сводя в таблицу по форме

Производительность перекачки $Q$ , м <sup>3</sup> /ч	Температура перекачиваемой жид- кости Т, град.К	Минимальное давление на входе в подпорный насос $h_{бх}$ , м.ст.ж.
1	2	3

### 3. ОПРЕДЕЛЕНИЕ ВЕЛИЧИН МИНИМАЛЬНО ДОПУСТИМОГО ВЗИВА НЕФТИ В РЕЗЕРВУАРАХ

3.1. Величина минимально допустимого взыва ограничивается возникновением кавитации, вызванной недостаточным заглублением подпорных насосов, большиими гидравлическими потерями в подводящих нефтепроводах подпорных насосов или появлением воронки на свободной поверхности нефти в резервуаре. При наличии в резервуаре понтона величина минимально допустимого взива рассчитывается только по кавитации, но принимается не менее высоты нижнего положения понтона (по существующим конструкциям - 1,8м).

3.2. Величину минимально допустимого взива нефти по кавитации для каждого резервуара  $H_k^{min}$  определяют при разной производительности перекачки, т.е. при работе одного, двух и т.д. подпорных насосов, а также для случаев откачки нефти из одного, двух и более резервуаров по формуле:

$$H_k^{min} = \alpha h_{dop} - h_{atm} - \delta + h_s + h_w, \quad (10)$$

где  $h_{atm}$  - напор, определяемый атмосферным давлением в зависимости от абсолютной отметки насосной от уровня моря согласно таблице I.

Таблица I.

Зависимость атмосферного давления от высотного расположения местности

Высота над уровнем моря, м	0	100	200	300	400	500	600	800	1000	1500	2000
$h_{atm}$ , м.ст.м.	10300	10100	9850	9600	9180	8160					
	$\frac{10300}{\rho}$	$\frac{10100}{\rho}$	$\frac{9850}{\rho}$	$\frac{9600}{\rho}$	$\frac{9180}{\rho}$	$\frac{8160}{\rho}$					
	10200	9950	9700	9400	8620						
	$\frac{10200}{\rho}$	$\frac{9950}{\rho}$	$\frac{9700}{\rho}$	$\frac{9400}{\rho}$	$\frac{8620}{\rho}$						

$\rho$  - плотность нефти, кг/м<sup>3</sup>;

$\Delta$  - заглубление насосов, определяемое нивелированием, как разница нивелирных отметок днища резервуара и оси входного патрубка подпорного насоса, м;

$h_w$  - гидравлические потери в подводящем нефтепроводе, м

$$h_w = h_e + h_{m.c.}, \quad (II)$$

$$h_e = \lambda_i \frac{\rho}{d_i} \frac{v^2}{2g} \quad \text{-- потери напора на трение;}$$

$$h_{m.c.} = \sum \zeta_i \frac{v^2}{2g} \quad \text{-- местные потери напора,}$$

Коэффициент гидравлического сопротивления, зависящий от режима течения жидкости, для трубопроводов  $D_u \geq 500$ мм определяют по формуле [2]

$$\lambda = \frac{0,3164}{\sqrt{\frac{v \cdot d}{v}}} \quad (I2)$$

Коэффициент местных сопротивлений определяется по [1].

3.3. Критический уровень взлива, соответствующий началу образования воронки над сливным отверстием, определяется по формуле:

$$H_b = A + d \sqrt{\frac{V^2}{gd}} K_1 K_2, \quad (I3)$$

где  $A$  - расстояние от днища резервуара до оси приемо-раздаточного патрубка, м;

для железобетонных резервуаров  $A = 0$ ;

$V$  - скорость течения жидкости в приемо-раздаточном патрубке, м/сек;

$K_1$  - коэффициент, учитывающий естественную закрутку потока,  $K_1 = 1,2$

$K_2$  - коэффициент, учитывающий влияние дна на поджатие потока,  $K_2 = 2,2$

3.4. Полученные величины  $H_K^{min}$  и  $H_{бор}$  сравнивают, с целью выявления определяющего фактора и наибольшую из них принимают в качестве эксплуатационной величины минимально допустимого взлива.

3.5. В случае, если величина минимального взлива определяется воронкообразованием, то необходимо иметь в виду следующее.

В процессе откачки нефти из двух или нескольких резервуаров (рис. I), имеющих в начальный момент разные уровни взлива, о

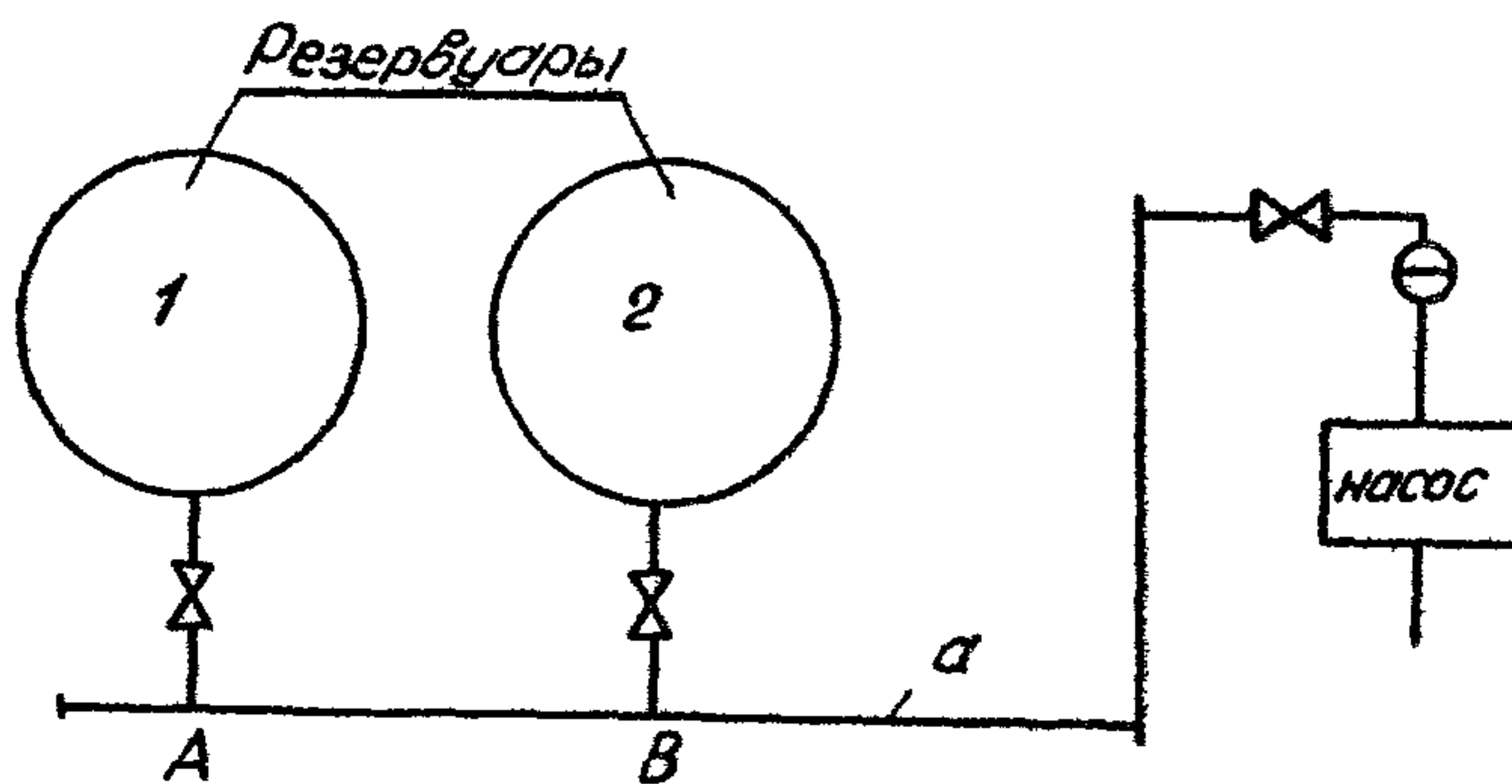


Рис. I. Схема обвязки резервуарно-насосного оборудования

а, следовательно, и разный расход нефти, происходит постепенная стабилизация режима, характеризующаяся выравниванием расходов из каждого резервуара. При этом уровень взлива в дальнем (B) резервуаре будет выше на величину, компенсирующую дополнительные гидравлические потери на участке AB и равен

$$H_t^{min} = H_{боронк} + \Delta H, \quad (I4)$$

$$\text{где } \Delta H = H_1 - H_2 = \sum h_w^{AB} = (\sum C + \lambda \frac{C_{AB}}{d}) \frac{v^2}{2g}$$

$H_1$  и  $H_2$  - высота всплытия в резервуаре I и 2 при откачке с одинаковым расходом  $Q_1 = Q_2 = \frac{Q_x}{2}$ ;

$v$  - скорость потока на участке AB диаметром  $d$ .

Разница уровней  $\Delta H$  тем больше, чем больше расстояние между резервуарами, что приводит к нарушению рациональной технологии перекачки (малая оборачиваемость дальнего резервуара, уменьшение полезной емкости, возможность его "запирания").

Поэтому: 1) при откачке из двух или более резервуаров одновременно необходимо, как правило, подключать в работу соседние резервуары, объединив их в группу; 2) контроль по минимальному всплытию  $H_{\text{вспл}}$  вести по резервуару, ближайшему к подпорной насосной.

#### 4. ОПРЕДЕЛЕНИЕ ВИБРАЦИОННЫХ ХАРАКТЕРИСТИК ПОДПОРНЫХ НАСОСОВ

Экспериментально с помощью виброметра определяют уровни виброперемещений для подшипников насосов, на основании чего строят зависимости вибрации (размаха виброперемещений) от величины всплытия для разной производительности перекачки  $2A = f(H_{\text{вспл}})$  (рис.2) и критической по вибрации высоты всплытия от производительности перекачки  $H_{\text{вспл}}^{kp} = f(Q)$  (рис.3). Величины критических виброперемещений приведены в таблице 2 в зависимости от оборотов ротора насоса.

Таблица 2

Допускаемые виброперемещения для подшипников подпорных насосов

$n$ , об/мин	375-750	750-1000	1000-1500	1500-3000	3000
$2A_{kp}$ , мм	0,12	0,1	0,08	0,06	0,04

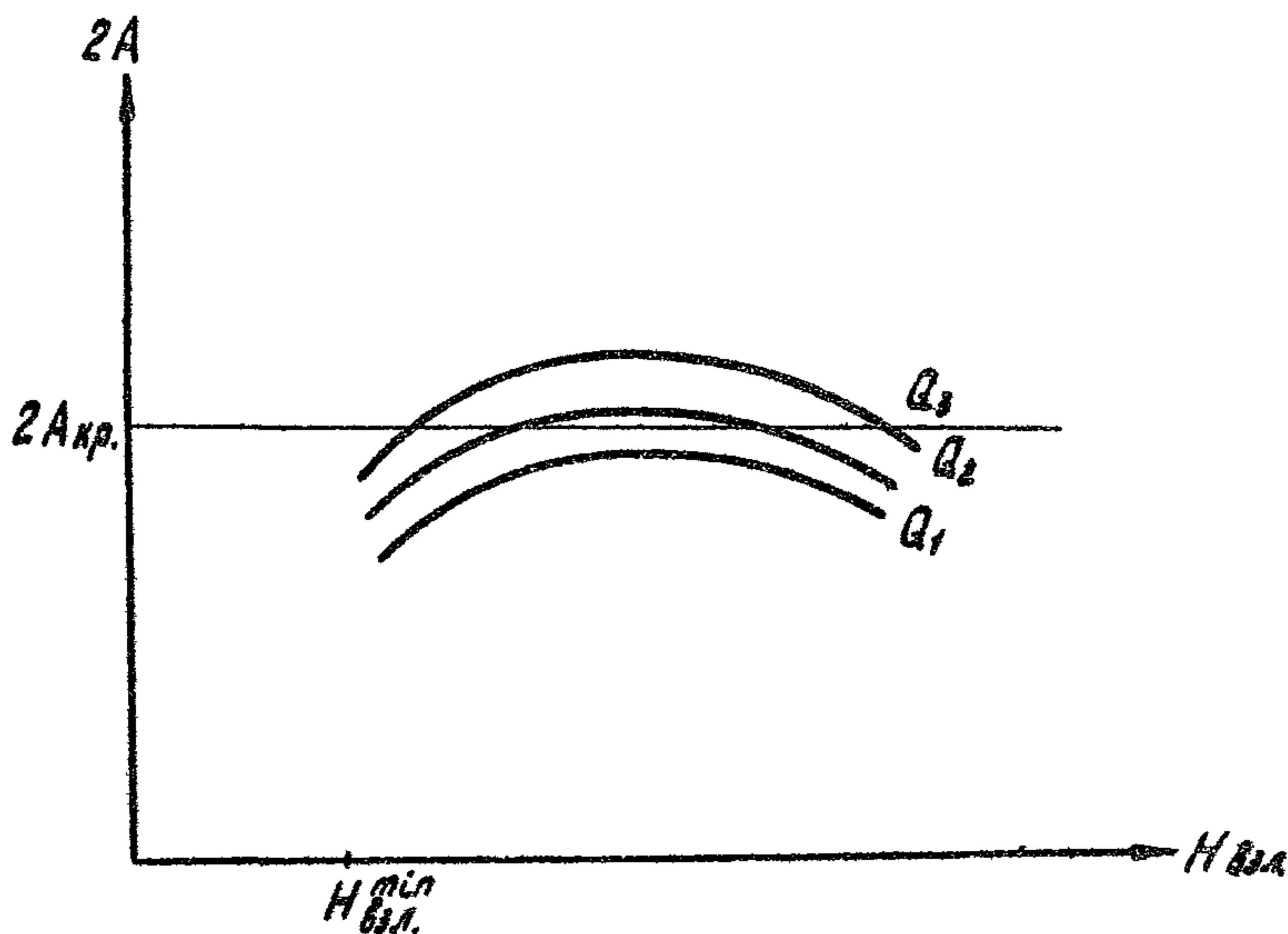


Рис.2. График зависимости  $2A=f(H_{63L})$

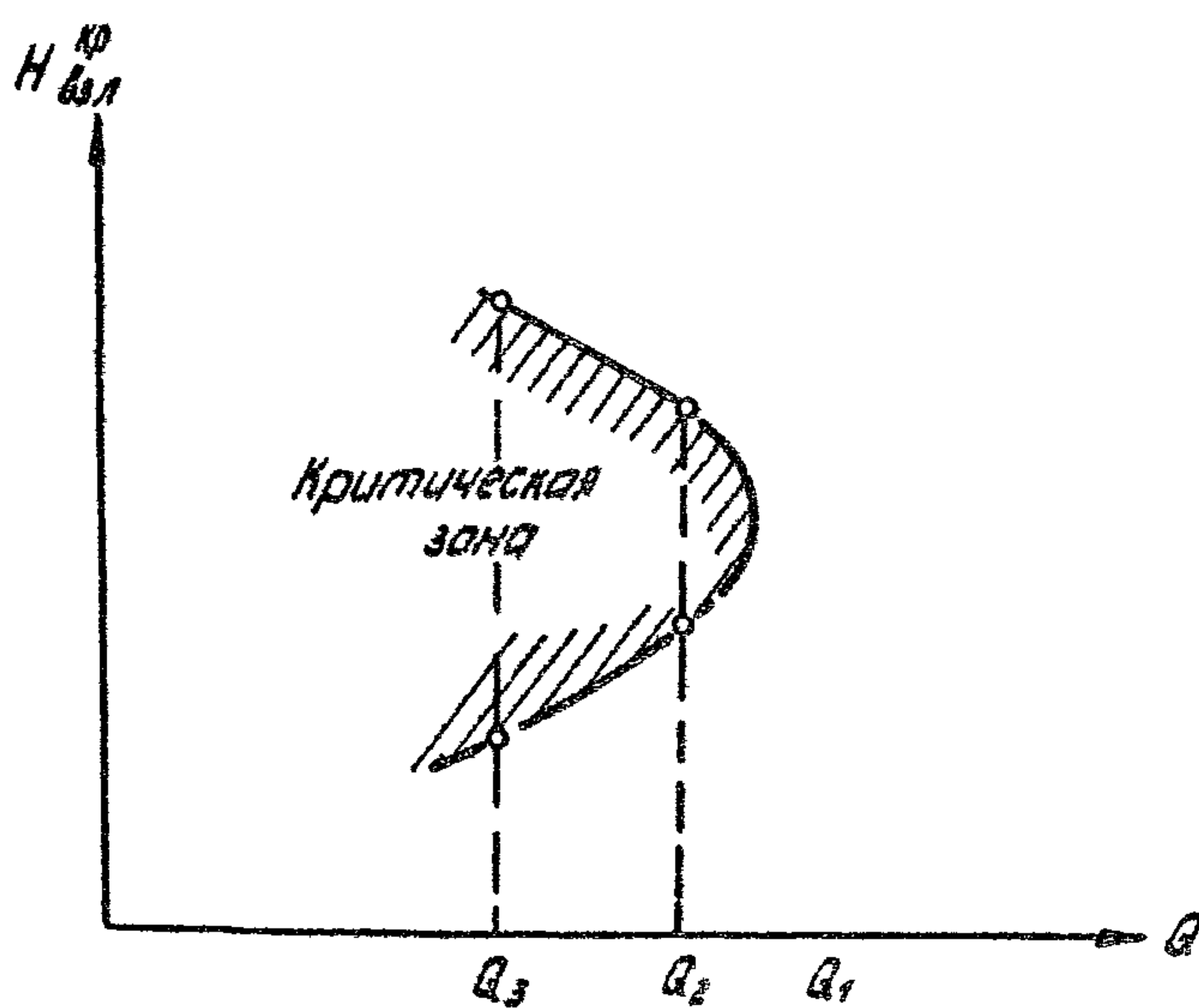


Рис.3. График зависимости  $H_{63L}^{**}=f(Q)$

Указанные замеры вибраций производят для задней и передней подшипниковых опор насоса. Полученные графики  $H_{\text{взл}}^{\text{kp}} = f(Q)$  прилагаются к технологической карте по каждой НПС.

## 5. ОПРЕДЕЛЕНИЕ МАКСИМАЛЬНЫХ ЭКСПЛУАТАЦИОННЫХ ВЗЛИВОВ

5.1. На случай аварийной остановки нефтеперекачивающей станции, снабженной резервуарными парками, НПС должна иметь свободные резервуарные емкости для возможности приема нефти с предыдущей станции или (для головных) с нефтепромысла.

Свободные емкости определяются в зависимости от производительности перекачки  $Q$  и времени  $t$ , необходимом для переключения соответствующих задвижек. В этом случае максимальную величину взлива определяют по формуле:

$$H^{\text{max}} = K_c \cdot H_i - \frac{4Qt}{\pi D^2 n} , \quad (15)$$

где  $K_c$  - коэффициент, учитывающий условия расположения станции. Для сейсмических районов он принимается равным 0,95 ; для остальных районов - 1,0 ;

$H_i$  - проектная высота налива, равная высоте стенки резервуара; при наличии пенокамеры - высота от днища резервуара до нижней точки врезки пенокамеры;

Для резервуаров с понтонами величина  $H_i$  принимается заниженной на величину, необходимую для размещения понтонов (приложение 7).

$t$  - время, определяемое индивидуально по каждой НПС, необходимое для открытия задвижки с целью непосредственного сообщения предыдущей НПС с последующей и для закрытия задвижки, отсекающей рассматриваемую НПС или время для открытия задвижки у свободного резервуара и закрытия задвижки у приемного резервуара, сек;

$D$  - диаметр резервуара, м;

$n$  - число одновременно подключенных на прием  
резервуаров;

$Q$  - производительность перкачки, м<sup>3</sup>/сек.

## 6. ОФОРМЛЕНИЕ ТЕХНИЧЕСКОЙ ДОКУМЕНТАЦИИ

6.1 Минимально допустимое давление на входе в подпорный насос, максимальный эксплуатационный взлив и минимально допустимый взлив нефти по каждому резервуару должны заноситься в технологическую карту на основании расчетов, сделанных в соответствии с настоящей инструкцией.

6.2. Указанные параметры определяют для различных температур перекачиваемой жидкости и производительности перкачки.

6.3. Строят сводный график располагаемых и допустимых кавитационных запасов, на который наносят зону критических по вибрации взливов (рис.4).

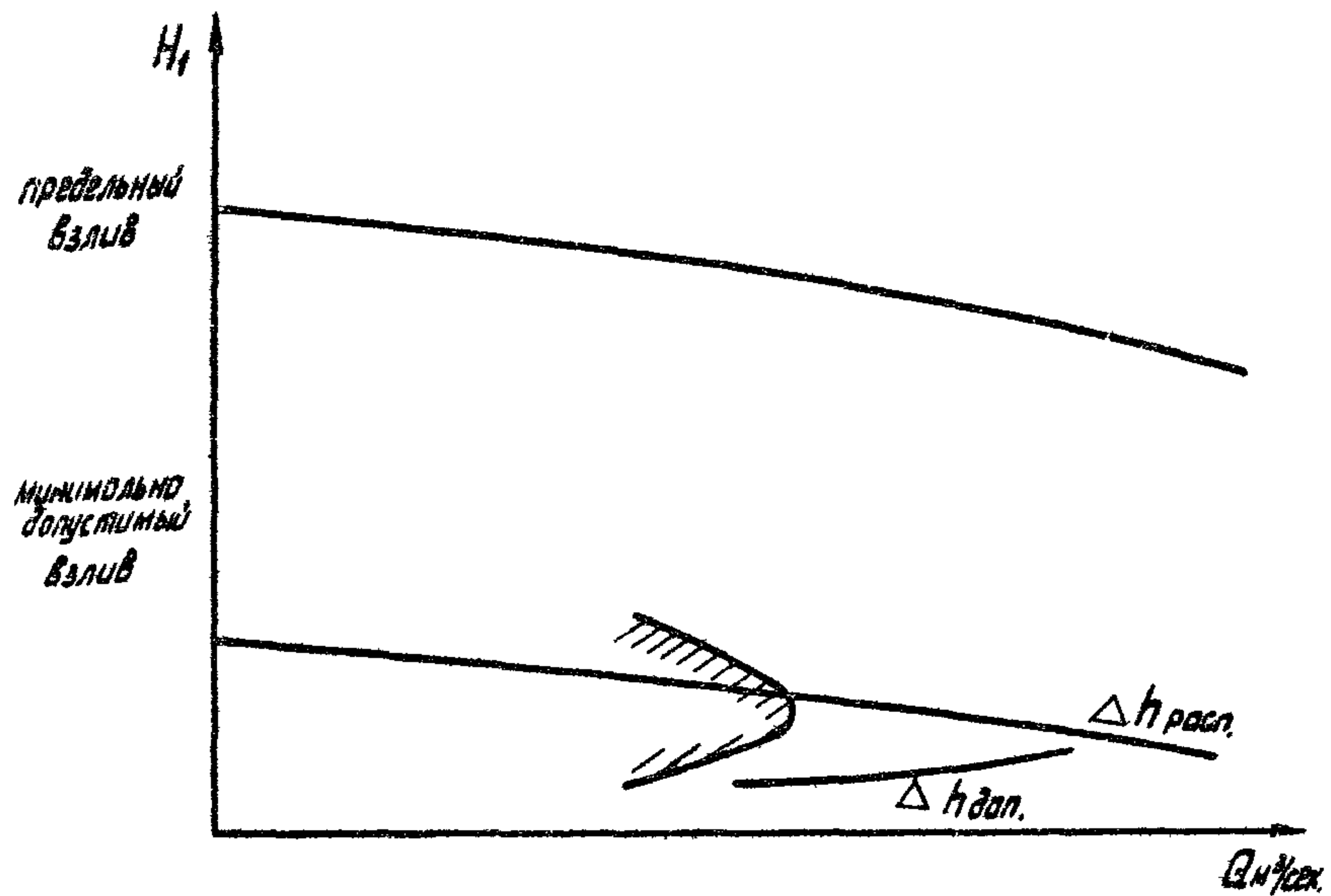


Рис. 4 Сравнительные характеристики  $\Delta h_{расг.}$  и  $\Delta h_{доп.}$ .

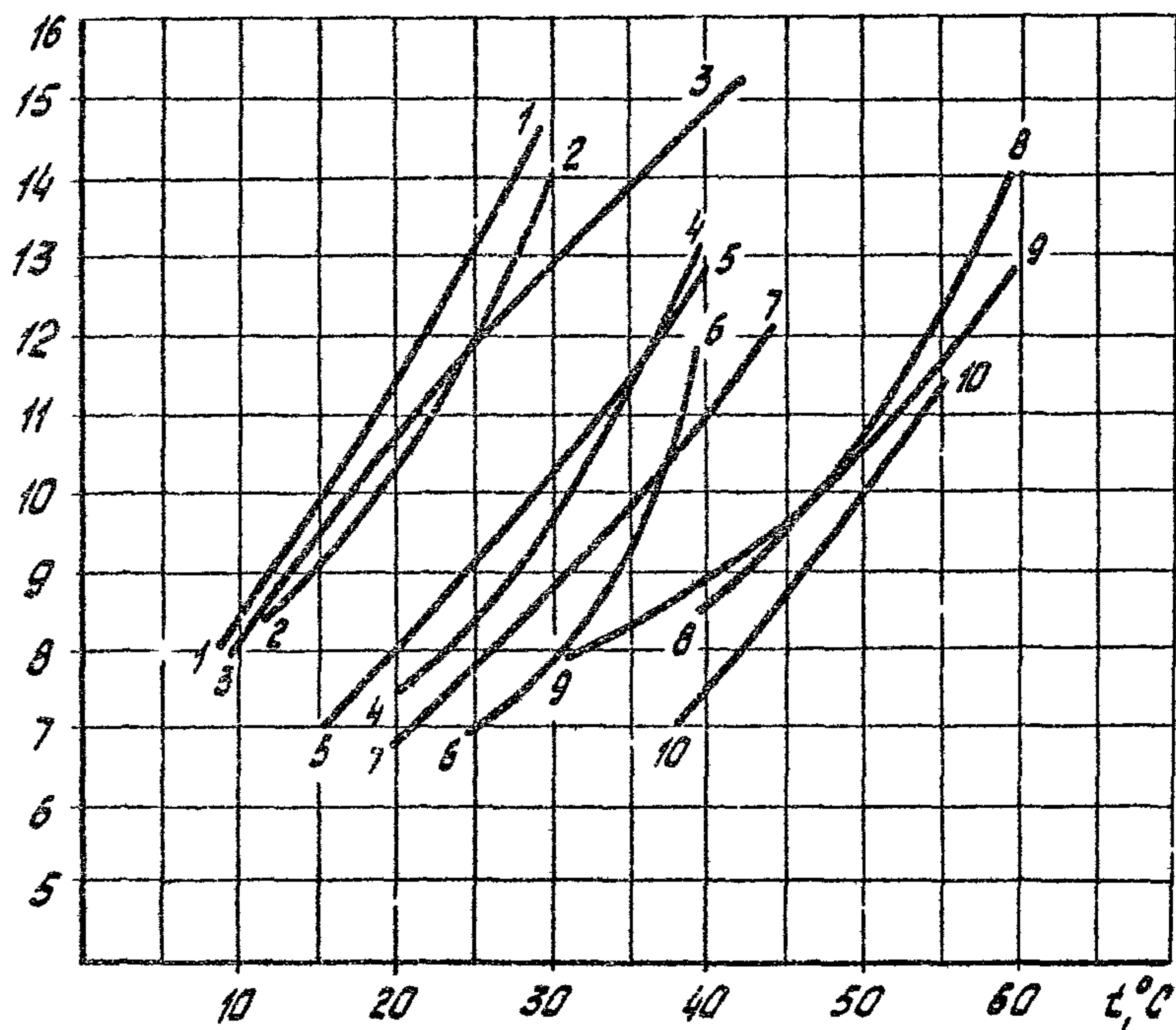
П Е Р Е Ч Е Н Ъ  
нормативно-технических документов, используемых  
в инструкции

1. Методика гидравлического расчета подводящих нефтепроводов подпорных насосов НПС с резервуарными парками  
РД 39-30-39-78, ВНИИСПТнефть, 1978.
2. Методика гидравлического расчета магистральных нефтепроводов, ВНИИСПТнефть, 1976.
3. ГОСТ 6134-71. Насосы динамические.

Приложение 1

Упругость паров нефти

$$h_s = \rho_s / \sigma, \text{ м}$$

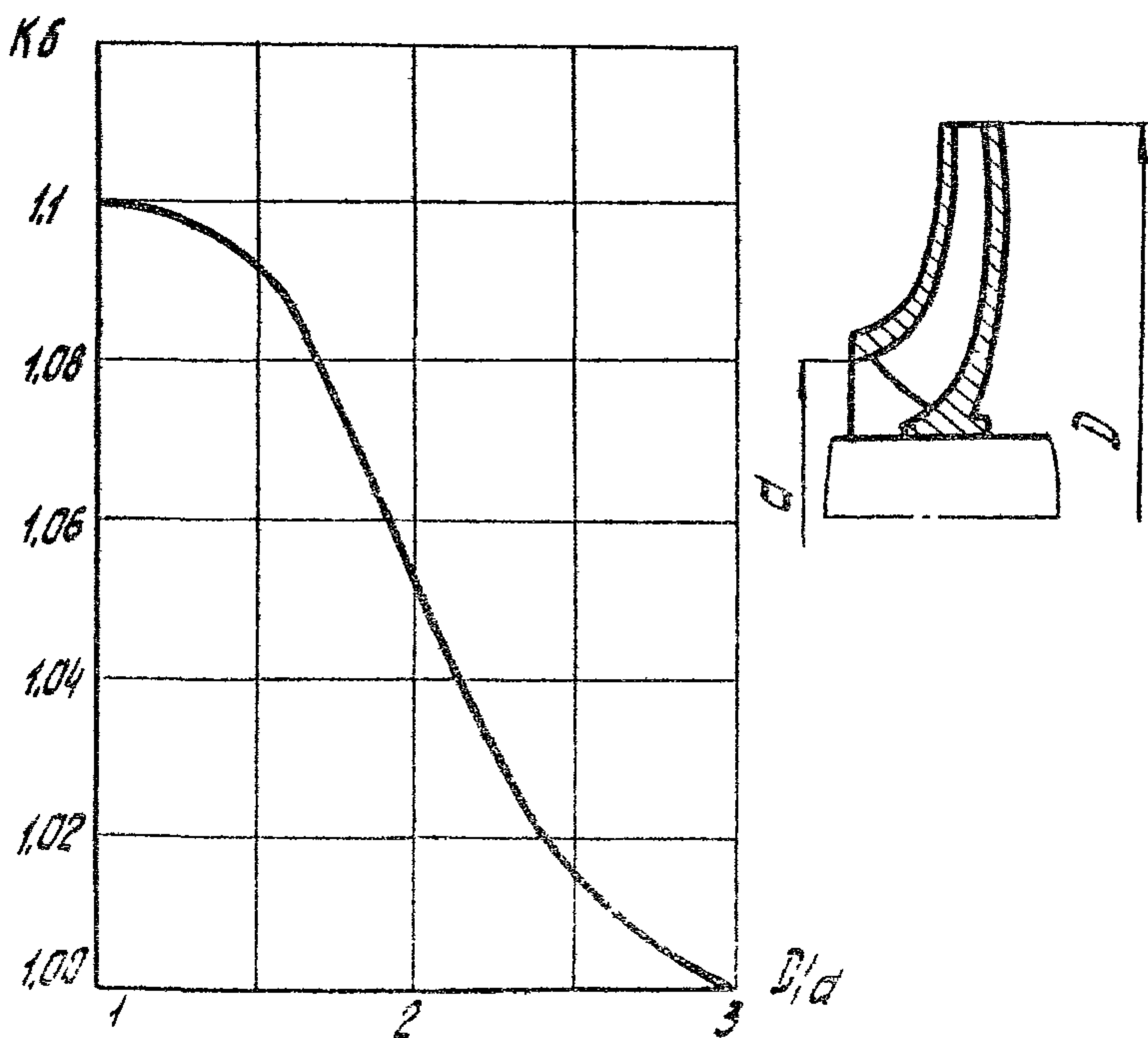
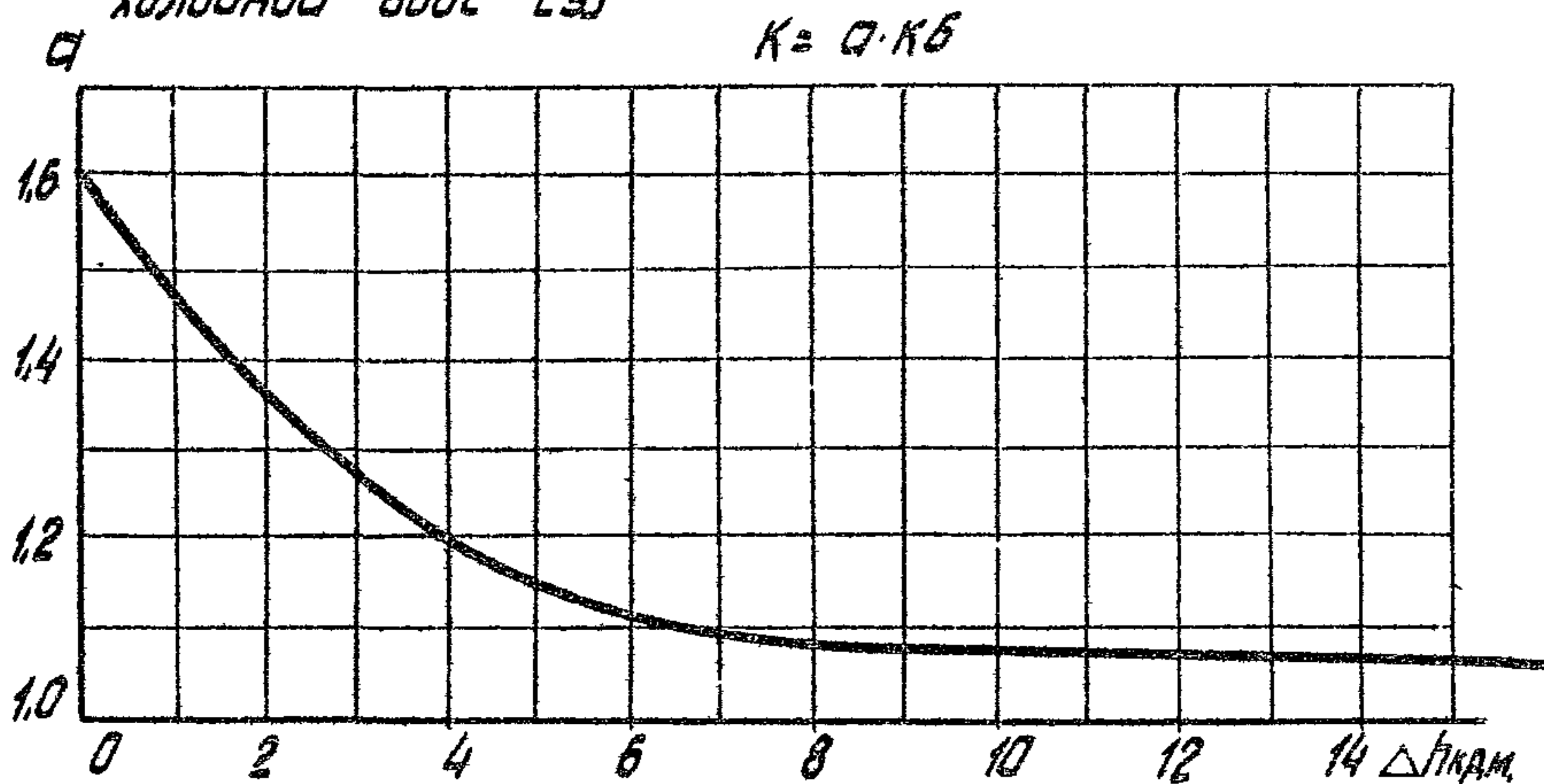


1. Баблинская
2. Туймазинская
3. Самотлорская
4. Мухановская
5. Арланская

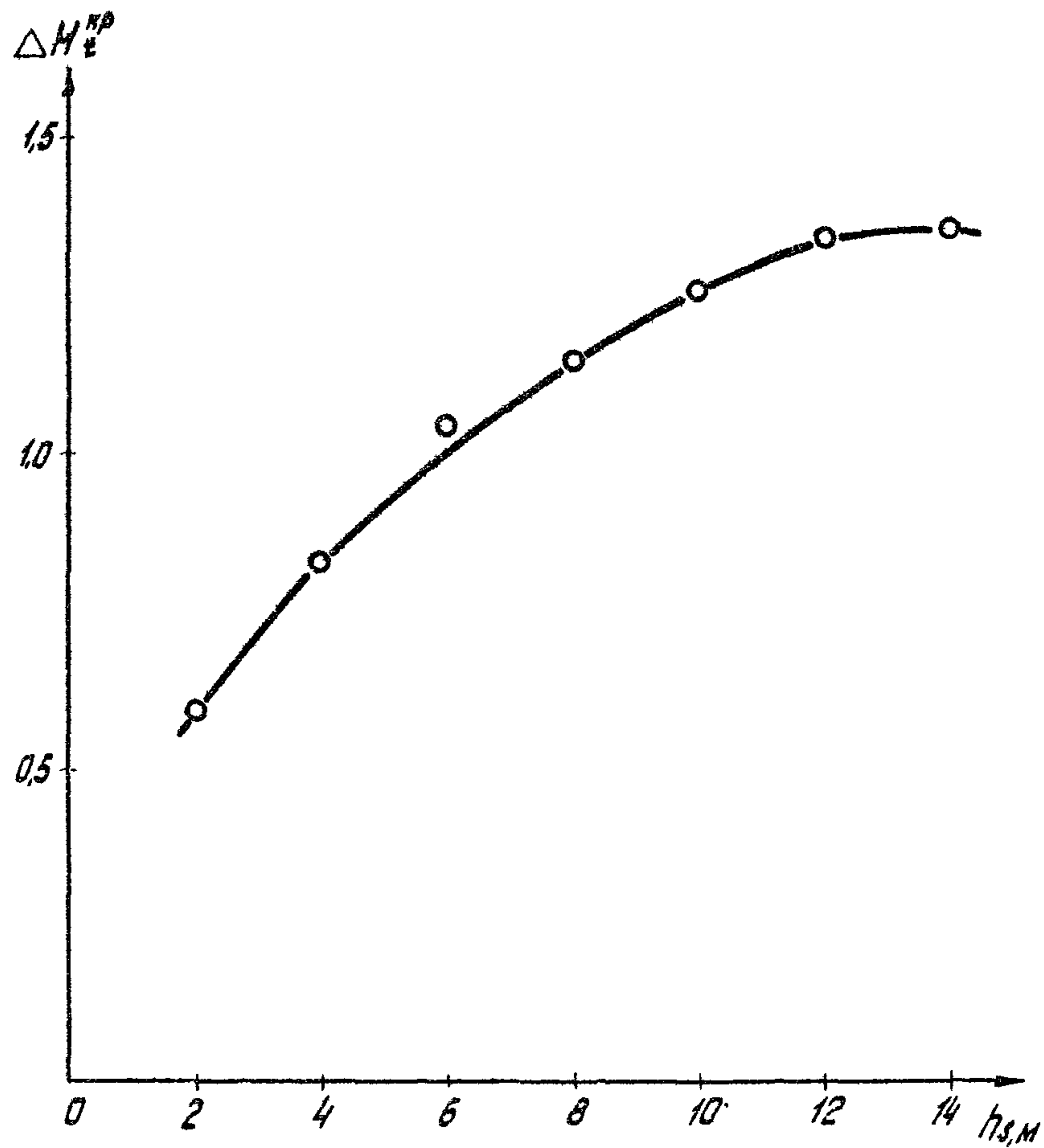
6. Ромашинская
7. Усть-Болыкская
8. Манышлакская
9. Сургутская
10. Небитдагская

## Приложение 2

Графики определения коэффициента кавитационного запаса центробежных насосов при работе на холодной воде [3]

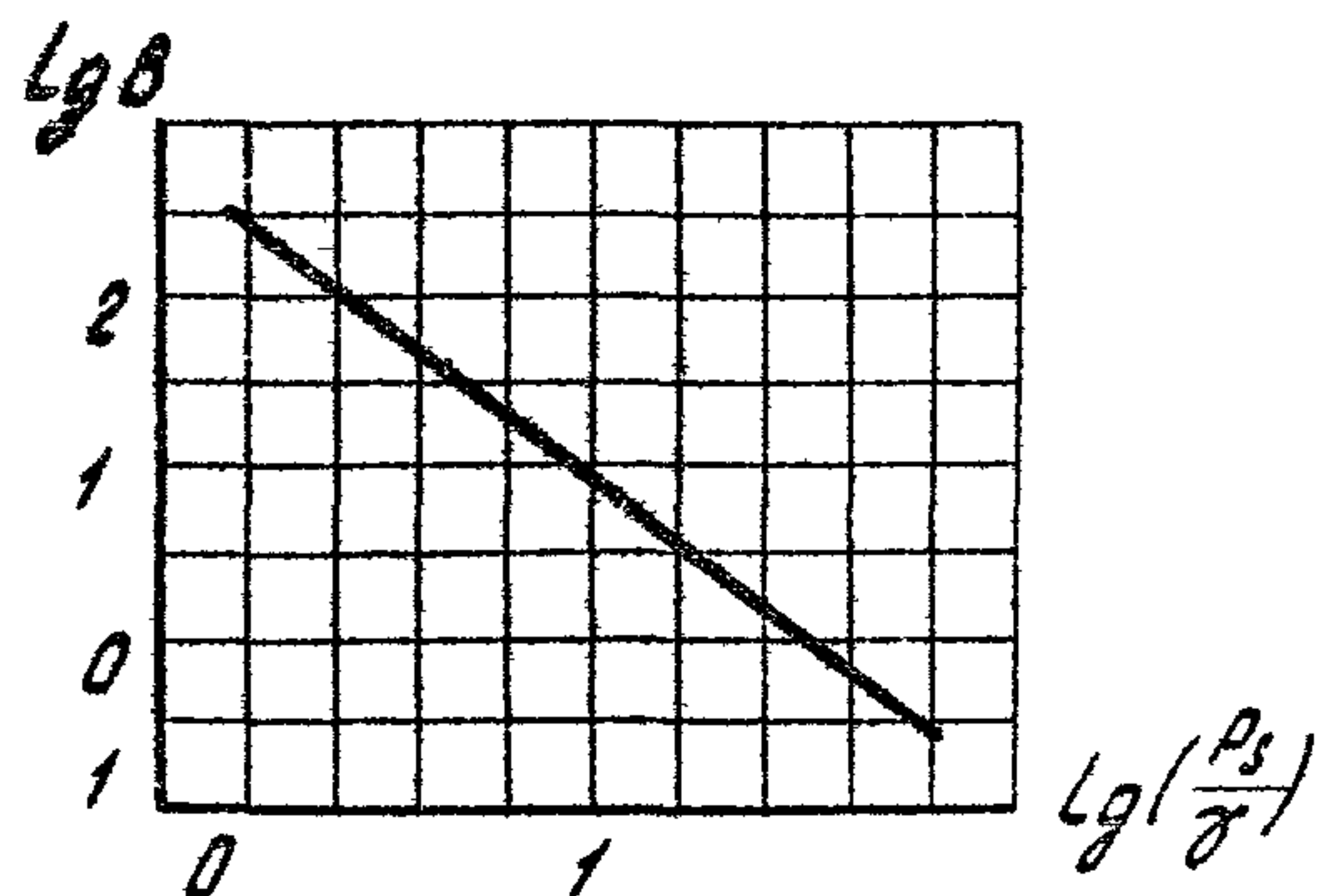


Приложение 3  
Зависимость термодинамической поправки  
от давления насыщенных паров



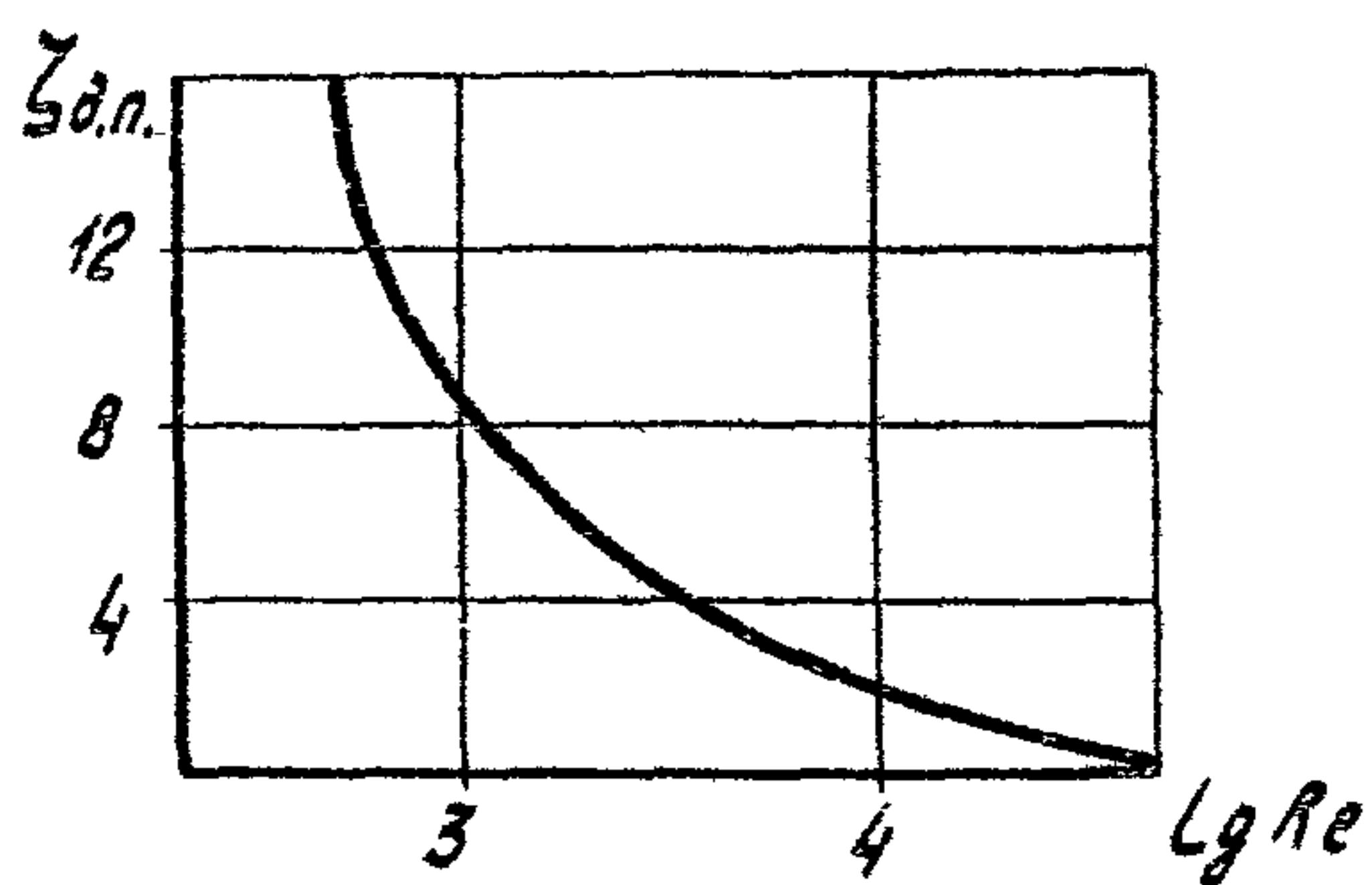
Приложение 4

Зависимость критерия тепловой кавитации от давления насыщенных паров перекачиваемой жидкости



Приложение 5

Зависимость коэффициента  
гидравлического сопротивления  
от числа Рейнольдса



## Приложение 6

## Основные данные подпорных нефтяных насосов

Марка насоса	Подача	Полный напор	Число оборотов	Допуск. кав. за-	$H_{бок}^{дел}$ (м.в.ст)	Диаметр колеса	При- нече-	
	$Q$ ( $\text{м}^3/\text{час}$ )	$H$ (м)	$n$ (об/мин)	пас				
I	1	2	3	4	5	6	7	8
НМП3600-76	3600	76	1000	3	-	-	-	-
НМП2500-74	2500	74	1000	3	-	-	-	-
НМП5000-II5	5000	II5	1000	3,5	-	-	-	-
I2НДСН	1000	24		-	5,0	460		
	900	18	960	-	6,0	400		
	800	28		-	6,0	460		
I4НДСН	I260	37		-	5,0	540		
	I080	35	960	-	5,0	510		
	900	42		-	5,0	480		
I8НДСН	I980	34	730	-	4,8	700		
	I600	38		-	5,0	700		
20НДСН	2200	44	730	-	4,8	765		
	2700	39		-	4,8	765		
32НД-8-I	3000	76	735	-	3,9	935		
24НДСН	4000	59	590	-	5,5	I,100		

## Приложение 7

**Проектная максимальная высота налива  
нефти в резервуарах**

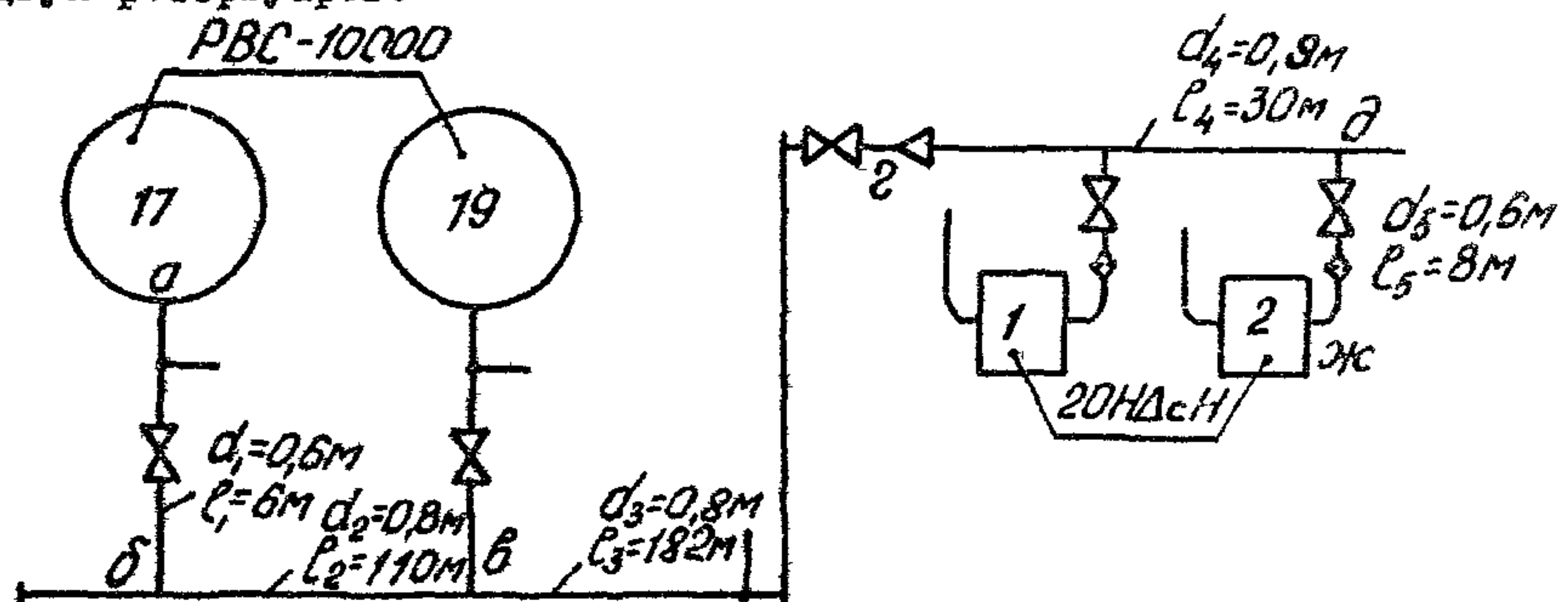
Тип резервуара	Проектная максимальная высота налива	
	без понтонов и пенокамеры	с понтоном
PBC - 5 000	11,92	10,72
PBC - 10000	11,92	10,42
PBC - 20000	11,92	10,44
ЖБР - 10000	7,0	-
ЖБР - 30000	9,0	-

## Приложение 8

Пример расчета технологических параметров  
на НПС "Броды" нефтепровода "Дружба"

## П8.1. Исходные данные:

П8.1.1. Технологическая схема - типичная для случая откачки из двух резервуаров.



## П8.1.2. Техническая характеристика насосного оборудования

- марка насоса - 20НДсН
- подача -  $2700\text{м}^3/\text{ч} = 0,75\text{м}^3/\text{сек}$
- допустимая вакууметрическая высота всасывания - 4,8м
- диаметр входного патрубка - 0,6м
- количество - I работающий, I резервный.

## П8.1.3. Резервуарное оборудование

- тип резервуара - РВС-10000
- количество резервуаров - 6

## П8.1.4. Свойства и показатели перекачиваемой жидкости

- перекачиваемый продукт - смесь нефей (на базе ромашкинской)
- температура перекачки  
минимальная  $t_1 = 279^\circ\text{K}$   
максимальная  $t_2 = 292^\circ\text{K}$

- плотность  $\rho_{t_1} = 868,8 \text{ кг}/\text{м}^3$ ;  $\rho_{t_2} = 859,7 \text{ кг}/\text{м}^3$
- давление насыщенных паров смеси  $h_s^{t_1} = 5,5 \text{ м.ст.ж.}$   
 $h_s^{t_2} = 6,5 \text{ м.ст.ж.}$

П8.1.5. Заглубление подпорных насосов  $Z = 3,04 \text{ м}$

П8.2. Определение минимально допустимого давления на входе в подпорный насос.

П8.2.1. Критический кавитационный запас насоса при перекачке воды

$$\Delta h_{kp}^{вод} = \frac{1}{K} (10,09 + \frac{V_{bx}^2}{2g} - H_{бак}^{доп})$$

$$\Delta h_{kp}^{вод} = \frac{1}{1,15} (10,09 + \frac{2,66^2}{2 \cdot 9,8} - 4,8) = 4,9 \text{ м.вод.ст.}$$

$$V_{bx} = \frac{4Q}{\pi D_{bx}^2} = \frac{4 \cdot 0,75}{3,14 \cdot 0,6^2} = 2,66 \text{ м/сек}$$

П8.2.2. Допустимый кавитационный запас при перекачке нефти

$$\Delta h_{доп}^{неф} = K (\Delta h_{kp}^{вод} - \Delta H_t^{kp} + \delta h_v)$$

Термодинамическая поправка

- для  $T = 279^\circ\text{K}$ :  $h_s = 5,5 \text{ м.ст.ж.}$  и  $H_t^{kp} = 0,92 \text{ м.ст.ж.}$
- для  $T = 292^\circ\text{K}$ :  $h_s = 6,5 \text{ м.ст.ж.}$  и  $H_t^{kp} = 1,07 \text{ м.ст.ж.}$

Вязкостная поправка

$$\delta h_v = \frac{\zeta_{дл} \cdot V_{bx}^2}{2g d_{bx}}$$

$$\text{Число Рейнольдса } Re = \frac{d_{bx} \cdot V_{bx}}{V}$$

$$\text{- для } T = 279^\circ\text{K} \quad Re = \frac{0,6 \cdot 2,66}{0,225 \cdot 10^{-4}} = 7,1 \cdot 10^4$$

$$\text{- для } T = 292^\circ\text{K} \quad Re = \frac{0,6 \cdot 2,66}{0,116 \cdot 10^{-4}} = 13,7 \cdot 10^4$$

Для обоих случаев  $\zeta_{дл} \approx 0$  и  $\delta h_v = 0$ .

- для  $T = 279^\circ\text{K}$   $\Delta h_{доп}^{неф} = 1,15(4,9 - 0,92 + 0) = 4,58 \text{ м.ст.ж.}$
- для  $T = 292^\circ\text{K}$   $\Delta h_{доп}^{неф} = 1,15(4,9 - 1,07 + 0) = 4,41 \text{ м.ст.ж.}$

П8.2.3. Минимально допустимое давление на входе в подпорный насос

$$h_{bx} = h_{доп}^{неф} + h_s - \frac{V_{bx}^2}{2g}$$

$$\text{- для } T = 279^\circ\text{K} \quad h_{bx} = 4,58 + 5,5 - \frac{2,66^2}{2 \cdot 9,8} = 9,32 \text{ м.ст.ж.}$$

$$\text{- для } T = 292^\circ\text{K} \quad h_{bx} = 4,41 + 6,5 - \frac{2,66^2}{2 \cdot 9,8} = 10,55 \text{ м.ст.ж.}$$

П8.2.4. Такие же расчеты сделаны для подач насоса

$Q = 0,67; 0,556; 0,445 \text{ м}^3/\text{сек}$ . Полученные результаты сводятся в таблицу.

Производительность перекачки $Q, \text{м}^3/\text{сек}$	Температура перекачиваемой нефти $T, ^\circ\text{К}$	Минимальное давление на входе в насос, М.ст.к.
0,75	279	9,32
0,75	292	10,55
0,67	279	9,36
0,67	292	10,58
0,556	279	9,33
0,556	292	10,57
0,445	279	9,33
0,445	292	10,56

П8.3. Определение величины минимально допустимого взлива нефти в резервуарах при работе насоса наnomинальной подаче.

П8.3.1. Напор, определяемый атмосферным давлением

$$\text{для } T = 279^\circ\text{K} \quad h_{\text{атм}} = \frac{10300}{\rho_{t_1}} = \frac{10300}{868,8} = 11,9 \text{ м}$$

$$\text{для } T = 292^\circ\text{K} \quad h_{\text{атм}} = \frac{10300}{\rho_{t_2}} = \frac{10300}{859,7} = 12 \text{ м}$$

П8.3.2. Гидравлические потери в подводящем нефтепроводе

Участок "а"- "б"  $d_1 = 0,6 \text{ м}; L_1 = 6 \text{ м}$

$$\text{Скорость } V_1 = \frac{4Q}{\pi d_1^2} = \frac{4 \cdot 0,375}{3,14 \cdot 0,6^2} = 1,33 \text{ м/сек}$$

$$\text{Число Рейнольдса } Re_1 = \frac{V_1 d_1}{\nu};$$

Коэффициент гидравлического сопротивления

$$\lambda = \frac{0,316}{\sqrt{Re}}$$

$$\text{для } T = 279^\circ\text{K} \quad Re_1 = \frac{1,33 \cdot 0,6}{0,225 \cdot 10^{-4}} = 3,55 \cdot 10^4;$$

$$\lambda_1 = \frac{0,3164}{\sqrt{3,95 \cdot 10^4}} = 0,0193$$

- для  $T = 292^{\circ}\text{K}$

$$Re_1 = \frac{1,33 \cdot 0,6}{0,116 \cdot 10^{-4}} = 6,85 \cdot 10^4$$

$$\lambda_1 = \frac{0,3164}{\sqrt[4]{6,85 \cdot 10^4}} = 0,0164$$

Гидравлические потери на участке "а"- "б"

$$h_{w1}' = (\zeta_{брык} + \zeta_{тр} + \zeta_{300} + \zeta_{огн} + \lambda_1 \frac{V_1^2}{d_1}) \frac{V_1^2}{2g}$$

- для  $T = 279^{\circ}\text{K}$

$$h_{w1}' = (0,9 + 0,15 + 0,2 + 0,21 + 0,0193 \frac{6}{0,6}) \frac{1,33^2}{2 \cdot 9,8} = 0,15 \text{ м}$$

- для  $T = 292^{\circ}\text{K}$

$$h_{w1}' = (0,9 + 0,15 + 0,2 + 0,21 + 0,0164 \frac{6}{0,6}) \frac{1,33^2}{2 \cdot 9,8} = 0,147 \text{ м}$$

Участок "б"- "в"  $d_2 = 0,8 \text{ м}; \zeta_2 = 110 \text{ м}$

$$\text{Скорость } V_2 = \frac{4 \cdot 0,375}{3,14 \cdot 0,8^2} = 0,747 \text{ м/сек}$$

- для  $T = 279^{\circ}\text{K}$

$$Re_2 = \frac{0,747 \cdot 0,8}{0,225 \cdot 10^{-4}} = 2,65 \cdot 10^4;$$

$$\lambda_2 = \frac{0,3164}{\sqrt[4]{2,65 \cdot 10^4}} = 0,0247$$

- для  $T = 292^{\circ}\text{K}$

$$Re_2 = \frac{0,747 \cdot 0,8}{0,116 \cdot 10^{-4}} = 5,16 \cdot 10^4$$

$$\lambda_2 = \frac{0,3164}{\sqrt[4]{5,16 \cdot 10^4}} = 0,021$$

Гидравлические потери на участке "б"- "в"

$$h_{w2}^2 = (\zeta_{тр} + \lambda_2 \frac{V_2^2}{d_2}) \frac{V_2^2}{2g}$$

- для  $T = 279^{\circ}\text{K}$

$$h_{w2}^2 = (3,0 + 0,0247 \frac{110}{0,8}) \frac{0,747^2}{2 \cdot 9,8} = 0,183 \text{ м}$$

- для  $T = 292^{\circ}\text{K}$

$$h_{w2}^2 = (3,0 + 0,021 \frac{110}{0,8}) \frac{0,747^2}{2 \cdot 9,8} = 0,168 \text{ м}$$

Участок "в"- "г"  $d_3 = 0,8 \text{ м}; \zeta_3 = 182 \text{ м}$

$$\text{Скорость } V_3 = \frac{4 \cdot 0,75}{3,14 \cdot 0,8^2} = 1,5 \text{ м/сек}$$

$$- \text{ для } T = 279^{\circ}\text{K} \quad Re_3 = \frac{1,5 \cdot 0,8}{0,225 \cdot 10^{-4}} = 5,35 \cdot 10^4;$$

$$\lambda_3 = \frac{0,3164}{\sqrt[4]{5,35 \cdot 10^4}} = 0,0208$$

$$- \text{ для } T = 292^{\circ}\text{K} \quad Re_3 = \frac{1,5 \cdot 0,8}{0,116 \cdot 10^{-4}} = 10,35 \cdot 10^4;$$

$$\lambda_3 = \frac{0,3164}{\sqrt[4]{10,35 \cdot 10^4}} = 0,0176$$

Гидравлические потери на участке "В"- "Г"  
 $h_w^3 = (\zeta_{tr}^{pc} + \zeta_{tr}^{prok} + \zeta_{otb} + \zeta_{tr}^{pob} + \zeta_{3ad} + \zeta_{dif} + \lambda_3 \frac{C_3}{d_3}) \frac{V_3^2}{2g}$   
- для  $T = 279^0K$   
 $h_w^3 = (0,51 + 0,15 + 0,35 + 1,4 + 0,2 + 0,1 + 0,0208 \frac{182}{0,8}) \frac{1,5^2}{2 \cdot 9,8} = 0,855m$   
- для  $T = 292^0K$   
 $h_w^3 = (0,51 + 0,15 + 0,35 + 1,4 + 0,2 + 0,1 + 0,0176 \frac{182}{0,8}) \frac{1,5^2}{2 \cdot 9,8} = 0,773m$

Участок "Г"- "Д"  $d_4 = 0,9m$ ;  $C_4 = 30m$

Скорость  $V_4 = \frac{4 \cdot 0,75}{3,14 \cdot 0,9^2} = 1,18 m/сек$

- для  $T = 279^0K$

$$Re_4 = \frac{1,18 \cdot 0,9}{0,0225 \cdot 10^{-4}} = 4,73 \cdot 10^4,$$

$$\lambda_4 = \frac{0,3164}{\sqrt{4,73 \cdot 10^4}} = 0,0214$$

- для  $T = 292^0K$

$$Re_4 = \frac{1,18 \cdot 0,9}{0,116 \cdot 10^{-4}} = 9,16 \cdot 10^4$$

$$\lambda_4 = \frac{0,3164}{\sqrt{9,16 \cdot 10^4}} = 0,0178$$

Гидравлические потери на участке "Г"- "Д"

$$h_w^4 = (2 \zeta_{tr}^{prok} + \lambda_4 \frac{C_4}{d_4}) \frac{V_4^2}{2g}$$

- для  $T = 279^0K$

$$h_w^4 = (2 \cdot 0,15 + 0,0214 \frac{30}{0,9}) \frac{1,18^2}{2 \cdot 9,8} = 0,0713m$$

- для  $T = 292^0K$

$$h_w^4 = (2 \cdot 0,15 + 0,0178 \frac{30}{0,9}) \frac{1,18^2}{2 \cdot 9,8} = 0,063m$$

Участок "Д"- "Ж"  $d_5 = 0,6m$ ,  $C_5 = 8m$

Скорость  $V_5 = \frac{4 \cdot 0,75}{3,14 \cdot 0,6^2} = 2,66 m/сек$

- для  $T = 279^0K$   $Re_5 = \frac{2,66 \cdot 0,6}{0,255 \cdot 10^{-4}} = 7,1 \cdot 10^4$

$$\lambda_5 = \frac{0,3164}{\sqrt{7,1 \cdot 10^4}} = 0,0193$$

- для  $T = 292^0K$   $Re_5 = \frac{2,66 \cdot 0,6}{0,116 \cdot 10^{-4}} = 13,7 \cdot 10^4$

$$\lambda_5 = \frac{0,3164}{\sqrt{13,7 \cdot 10^4}} = 0,0164$$

Гидравлические потери на участке "Д"- "Ж"

$$h_w^5 = (\zeta_{tr}^{pob} + \zeta_{3ad} + \zeta_{dif} + \zeta_{otb} + \lambda_5 \frac{C_5}{d_5}) \frac{V_5^2}{2g}$$

- для  $T = 279^0K$

$$h_w^5 = (1,4 + 0,2 + 1,0 + 0,35 + 0,0193 \frac{8}{0,6}) \frac{2,66^2}{2 \cdot 9,8} = 1,15m$$

- для  $T = 292^0K$

$$h_w^5 = (1,4 + 0,2 + 1,0 + 0,35 + 0,0164 \frac{8}{0,6}) \frac{2,66^2}{2 \cdot 9,8} = 1,14m$$

Суммарные гидравлические потери в подводящем нефтепроводе

$$\Sigma h_w = h_w' + h_w^2 + h_w^3 + h_w^4 + h_w^5$$

$$\begin{aligned} & \text{- для } T = 279^{\circ}\text{K} \sum h_w = 0,15 + 0,183 + 0,855 + 0,0713 + 1,15 = 2,41 \text{м} \\ & \text{- для } T = 292^{\circ}\text{K} \sum h_w = 0,147 + 0,168 + 0,773 + 0,063 + 1,14 = 2,29 \text{м} \end{aligned}$$

Минимальный допустимый взлив в резервуаре № I7

$$\begin{aligned} H_k^{min} &= \Delta h_{\text{дел}}^{neop} - h_{\text{атм}} - \bar{z} + h_s + \sum h_w \\ &\text{- для } T = 279^{\circ}\text{K} H_k^{min} = 4,58 - 11,9 - 3,04 + 5,5 + 2,41 = -2,44 \text{м} \\ &\text{- для } T = 292^{\circ}\text{K} H_k^{min} = 4,41 - 12 - 3,04 + 6,5 + 2,29 = -1,84 \text{м} \end{aligned}$$

Отрицательная величина минимального взлива указывает на большой запас заглубления подпорного насоса, который позволяет вести откачуку по кавитации без ограничения и т.о. минимальный взлив должен определяться из условия прохвата воздуха при воронкообразовании.

П8.3.3. Определение критического уровня взлива, соответствующего началу прохвата воздуха при образовании воронки.

Для резервуаров типа РВС с боковым расположением приемо-раздаточного патрубка

$$H_{\text{бок}} = A + d \sqrt[3]{\frac{V^2}{gd}} K_1 K_2$$

$$A = 0,73 \text{ м}$$

$$d = 0,6 \text{ м}$$

Скорость потока в приемо-раздаточном патрубке

$$V = \frac{4 \cdot Q}{\pi d^2} = \frac{4 \cdot 0,375}{3,14 \cdot 0,6^2} = 1,33 \text{ м/сек}$$

$$H_{\text{бок}} = 0,73 + \sqrt[3]{\frac{1,33^2}{9,8 \cdot 0,6}} \cdot 1,2 \cdot 2,2 = 1,8 \text{ м}$$

П8.3.4. Принимаем минимальную величину взлива при опорожнении резервуара № I9, исходя из условия прохвата воздуха

$$H^{min} = 1,8 \text{ м}$$

П8. 4. Определение максимального эксплуатационного взлива

$$H^{max} = 0,95 H_{\text{бок}}$$

Для РВС-10000 с пенокамерой  $H_{\text{бок}} = 10,7 \text{ м}$

Диаметр резервуара  $D = 34,2 \text{ м}$

Время, необходимое для переключения задвижек бригадой  
8чел. (по 4чел. на каждую задвижку)

$$t = 3600 \text{ сек}$$

Число подключенных резервуаров  $n = 2$

$$H_{\max} = 0,95 \times 10,7 - \frac{4 \times 0,75 \times 3600}{3,14 \times 34,2^2 \times 2} = 8,7 \text{ м}$$

#### П8.5. Оформление результатов

На основании проведенных расчетов следует:

П8.5.1. К таблице технологических данных по подпорным агрегатам, фиксирующей температурный режим узлов насоса и его нагрузку, ввести таблицу минимальных давлений на входе в насос в зависимости от его подачи и температуры перекачиваемой нефти.

Подача насоса $Q, \text{м}^3/\text{сек}$	Температура перекачиваемой нефти T, °К	Минимальное давление на входе в насос м.ст.ж.
0,445 - 0,75	279	9,32
0,445 - 0,75	292	10,55

П8.5.2. В технологическую карту на резервуары ввести минимальную высоту взлива в ближнем к подпорной резервуаре при опорожнении резервуаров - 185 см и максимальную высоту взлива - 8,7 м.

П8.5.3. К диспетчерской документации приложить сводный график располагаемых и допустимых кавитационных запасов с нанесением на нем зоны критических по вибрации взливов.

## Приложение 9

Пример расчета  
критического кавитационного запаса  
вертикального подпорного насоса  
НПВ 2500x80

## П9.1. Исходные данные

Подача насоса  $Q = 0,7 \text{ м}^3/\text{сек}$ 

Критический кавитационный запас на входе в стакан насоса

$$(\Delta h_{kp}^{sh})_{вода} = 4,4 \text{ м. вод. ст.}$$

Перекачиваемая нефть

- вязкость  $\nu = 1,1 \times 10^{-4} \text{ м}^2/\text{сек}$ - давление насыщенных паров  $h_g = 8 \text{ м. ст. ж.}$ Диаметр входного патрубка стакана  $d_{вс} = 0,8 \text{ м}$ Диаметр входа нижнего патрубка насоса  $d_h = 0,38 \text{ м}$ 

## П9.2. Скорость во входном патрубке стакана вертикального насоса

$$V = \frac{4Q}{\pi d_{вс}^2} = \frac{4 \cdot 0,7}{3,14 \cdot 0,8^2} = 1,35 \text{ м/сек}$$

## П9.3. Число Рейнольдса по условиям на входе в стакан при работе на нефти и воде

$$Re_n^{ст} = \frac{\pi \cdot Q}{\pi d_{вс} \cdot V} = \frac{4 \cdot 0,7}{3,14 \cdot 0,8 \cdot 1,1 \cdot 10^{-4}} = 3 \cdot 10^4$$

$$Re_{воды}^{ст} = \frac{4 \cdot 0,7}{3,14 \cdot 0,8 \cdot 0,01 \cdot 10^{-4}} = 3,4 \cdot 10^6$$

## П9.4. Термодинамическая поправка

для  $h_g = 8 \text{ м. ст. ж.}$   $\Delta H_t^{kp} = 1,26$ 

## П9.5. Критический кавитационный запас на входе в стакан насоса при работе на нефти

$$(\Delta h_{kp}^{sh})_{неф} = (\Delta h_{kp}^{sh})_{вода} + (Z_{R_p}^{пп.} - Z_{абт}^{пп.}) - \Delta H_t^{kp}$$

Значения  $\zeta_{Re}^{н.п.}$  и  $\zeta_{обм}^{н.п.}$  определяются согласно [1]  
для чисел Рейнольдса соответственно  $Re_{e_n}^{ст}$  и  $Re_{вода}^{ст}$ .

$$(\Delta h_{кр}^{вн})_{неф} = 4,4 + (5,3 - 3,0) \frac{1,35^2}{2 \cdot 9,8} - 1,26 = 3,35 \text{ м.ст.н}$$

## СОДЕРЖАНИЕ

	Стр.
1. Общие положения . . . . .	3
2. Определение минимального давления на входе в подпорный насос . . . . .	4
3. Определение величины минимально допустимо- го ввода нефти в резервуарах . . . . .	7
4. Определение вибрационных характеристик под- порных насосов . . . . .	10
5. Определение максимальных эксплуатационных вводов . . . . .	12
6. Оформление технической документации . . . .	13
 Приложение 1	
Упругость паров нефтей . . . . .	16
 Приложение 2	
Графики определения коэффициента кавитацион- ного запаса центробежных насосов при работе на холодной воде . . . . .	17
 Приложение 3	
Зависимость термодинамической поправки от давления насыщенных паров . . . . .	18
 Приложение 4	
Зависимость критерия тепловой кавитации от давления насыщенных паров перекачиваемой жидкости . . . . .	19

Приложение 5	
Зависимость коэффициента гидравлического сопротивления от числа Рейнольдса .....	20
Приложение 6	
Основные данные подпорных нефтяных насосов .....	21
Приложение 7	
Проектная максимальная высота налива нефти в резер- вуарах .....	22
Приложение 8	
Пример расчета технологических параметров на НПС "Броды" нефтепровода "Дружба" .....	23
Приложение 9	
Пример расчета критического кавитационного запаса вертикального подпорного насоса НПВ 2500x80 .....	30

ИНСТРУКЦИЯ  
ПО ОПРЕДЕЛЕНИЮ ПАРАМЕТРОВ ЭКСПЛУАТАЦИИ СИСТЕМЫ  
РЕЗЕРВУАРНЫЙ ПАРК – ПОДПОРНЫЕ НАСОСЫ

РД 39-30-140-79

ВНИИСПГнефть  
450055, г.Уфа, пр. Октября, 144/3  
Редактор Л.Д.Чернышева

---

Подписано к печати 4.06.79 П03318  
Формат 60x90 1/16. Уч.-изд. л.-1,5. Тираж 150  
Цена 7 коп. Заказ №10

---

Ротапринт ВНИИСПГнефти